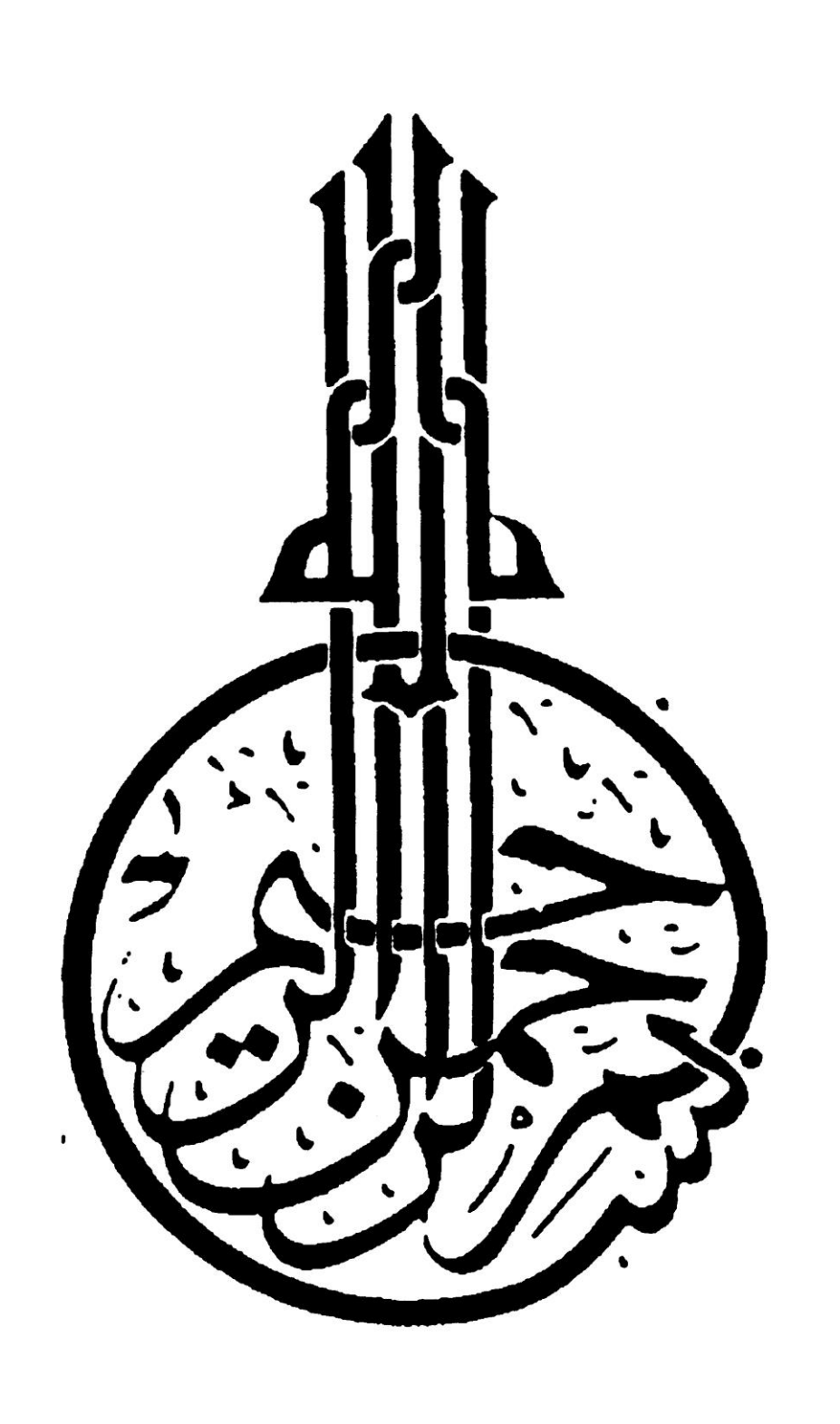


حامد بن عبدالعليم وردك

بحث مقدم لنيل درجة الماجستير في العلوم (الهندسة الصناعية)

كلية الهندسة جامعة الملك عبدالعزيز – جدة شعبان ١٤٤٠هـ - مايو ٢٠١٩م



حامد بن عبدالعليم وردك

بحث مقدم لنيل درجة الماجستير في العلوم (الهندسة الصناعية)

إشراف الأستاذ الدكتور / سراج بن يوسف عابد الدكتور / نادر السيد

كلية الهندسة جامعة الملك عبدالعزيز جدة – المملكة العربية السعودية شعبان ١٤٤٠هـ - مايو ٢٠١٩م

حامد بن عبدالعليم وردك

المستخلص

الطلب على المياه في مدينة جدة مرتفع للغاية على مر السنين، وهذا يتأكد عند النظر إلى بيانات الاستهلاك الخاصة بالمدينة. حيث نجد أن معدل استهلاك المياه في تزايد وفقا لإحصاءات وزارة البيئة والمياه والزراعة. وتحتاج الوزارة إلى التنبؤ المستقبلي باستهلاك المياه لاتخاذ القرارات اللازمة لتلبية الطلب المتزايد.

تهدف هذه الدراسة إلى تحديد العوامل التي تؤثر على استهلاك المياه، والتنبؤ بكميات المياه اللازمة في جدة للسنوات القادمة، وقد تم استخدام تقنيات التنبؤ الإحصائية على بيانات الاستهلاك الشهري من المياه لمدينة جدة في الفترة من (يناير ٢٠٠٩م إلى أكتوبر ٢٠١٨م)، بمجموع ١١٨ شهرًا، للوصول إلى تقدير الكميات التي تحتاجها مدينة جدة بنهاية عام ٢٠٢٢م. البيانات الخاصة باستهلاك المياه تم تجميعها من موقع وزارة البينة والمياه والزراعة (MEWA) في المملكة العربية السعودية. تم استخدام معامل بيرسون للارتباط لتحديد العلاقة بين استهلاك المياه في مدينة جدة ومجموعة من العوامل بشكل منفصل. وتم اختيار العوامل - من خلال المراجعة الأدبية التي تمت- وهي على النحو التالي: عدد سكان مدينة جدة، والعوامل الجوية: درجات الحرارة الشهرية (الكبرى والصغرى والمتوسط) ونسبة الرطوبة الشهرية (اعلى نسبة، واقل نسبة، والماسط)، والعوامل الإجمالي، ومعدل التضخم الشهري، ونصيب الفرد من الناتج المحلي). بعد إجراء اختيار الارتباط بين استهلاك المياه وبين كل من هذه العوامل، تبين أن أقوى خمسة عوامل ارتباطا هي المملكة العربية السعودية، معدل التضخم في المملكة العربية السعودية، معدل التضخم في المملكة العربية السعودية، معدل الاتضخم في المملكة العربية السعودية، ومتوسط درجة الحرارة الصغرى المهريا لمدينة جدة، مادل الارتباط لهذه العوامل الخمسة كالتالي: ١٠٨٠، ٢٠٥٠، ١٠٠٠٠، ٢٥٠٠، ٢٠٥٠، ٢٠٥٠، ١٠٠٠، ٢٠٥٠، ١٠٠٠، ٢٠٥٠، ١٠٠٠، ٢٠٥٠، ١٠٠٠، ٢٠٥٠، ١٠٠٠، ٢٠٥٠، ١٠٠٠، ٢٠٥٠، ١٠٠، ١٠٠٠، ١٠٠٠، ١٠٠، ١٠٠٠، ١٠٠، ١٠٠، ١٠٠٠، ١٠٠، ١٠٠، ١٠٠، ١٠٠، ١٠٠، ١٠٠، ١٠٠، ١٠٠، ١٠٠، ١٠٠، ١٠٠، ١٠٠، ١٠٠، ١٠٠، ١٠٠، ١٠٠، ١٠٠، ١٠٠، ١٠٠،

و ٣٩٦, و على التوالي. بالنسبة إلى بيانات العوامل الاقتصادية الأخرى فقد تم الحصول عليها من موقع منظمة التعاون الاقتصادي والتنمية (OECD)، وموقع مؤسسة النقد العربي السعودي.

تم التنبؤ على مرحلتين: الأولى: تنبؤ بتحليل السلاسل الزمنية Time-Series فقط دون أخذ العوامل المؤثرة في الحسبان. والثانية كانت باستخدام العوامل المؤثرة في الاستهلاك. في المرحلة الأولى، تم استخدام تقنيات التنبؤ بتحليل الاتجاه (الخطي والأسي والتربيعي) للحصول على أفضل نموذج مناسب لاستهلاك المياه في جدة وأكثر هم دقة. وقد أظهرت النتائج أن طريقة 'Holt-Winters توفر أفضل نموذج وأكثر دقة من بين الـ٧١ طريقة التي تم استخدامها في الدراسة. وباستخدام هذه التقنية، خلصنا إلى أن استهلاك المياه الشهري في مدينة جدة سوف يصل إلى ٢٠١٦ع مليون متر مكعب في ديسمبر ٢٠٢٢م من مستواه في أكتوبر ٢٠١٨م، أي بنسبة زيادة تصل إلى ١٣٠٥٪ خلال فترة التنبؤ البالغة ٤ سنوات. أما في المرحلة الثانية، فقد تم استخدام طرق وتقنيات تأخذ العوامل المرتبطة بالاستهلاك في الحسبان، وهي كالتالي: الانحدار المتعدد (Regression) ومتوسط الانحدار المتكامل التلقائي (ARIMA) والشبكة العصبية الاصطناعية متعددة الطبقات (MLP-Neural Network).

أظهرت النتائج النهائية في تقنية الانحدار المتعدد، أنه يمكن تفسير ٨٥,٧٢٪ من التباين في التنبؤ في استهلاك المياه (٢) بواسطة نموذج الانحدار الذي توصلنا له. وفي تقنية ARIMA استنتجنا أن دقة النموذج قد تزداد بزيادة عدد العوامل إلى النموذج. وخلصنا إلى أن أفضل نموذج من بين جميع النماذج التي تم اختبارها ومن حيث مقابيس الدقة) هو نموذج (٨,١,١2 مع ٥ عوامل. وفي تقنية الشبكات العصبية الاصطناعية استنتجنا أن إضافة المزيد من الطبقات لا يؤدي بالضرورة إلى تحسين نتائج دقة النموذج. من ناحية أخرى، لا تحتاج بعض النماذج إلى جميع العوامل الخمسة لإعطاء النموذج الأكثر دقة. وهذا يعني إضافة المزيد من العوامل في الملاكات العصبية (١٩٧١، في مجموعة الانتبار). كذلك، فقد تم حساب مقابيس الدقة العصبية (١٩٧، في مجموعة التدريب، و ٩٢، في مجموعة الاختبار). كذلك، فقد تم حساب مقابيس الدقة مقارنة نتائج جميع النماذج في التقنيات المستخدمة في الدراسة. وتم مقارنة نتائج جميع النماذج في التقنيات المختلفة التي تم استخدامها بناءً على أقل الأخطاء في مقابيس الدقة.

حامد بن عبدالعليم وردك

الملخص

حاجة الإنسان للمياه ضرورية. بينما تعاني العديد من الدول من نقص في مياه الشرب. تخطط الحكومات لتلبية الطلب المتزايد على المياه. أنشأت المملكة العربية السعودية على طول ساحل البحر الأحمر والخليج العربي العديد من محطات تحلية المياه لتلبية الطلب المتزايد على مياه الشرب. تعتمد منطقة مكة المكرمة بشدة على المياه المحلاة. مدينة جدة هي أكبر محافظة في المنطقة ، وبالتالي ركزت عليها هذه الدراسة. تقع مدينة جدة على الساحل الغربي للمملكة العربية السعودية على البحر الأحمر ، تحديدا عند ٢١ ° ٣٢ '٣٦' شمالاً، ° 92 على الساحل الغربي للمملكة العربية السعودية على البحر الأحمر ، تحديدا عند ٢١ ° ٣٢ '٣٦' شمالاً، ° 22 من مدينة في منطقة مكة المكرمة وثاني أكبر مدينة في المملكة العربية السعودية. تبلغ مساحتها الإجمالية أكثر من ١٦٠٠ كم مربع.

والسؤال هو: ما كمية المياه التي تستهلكها مدينة جدة؟ كم سيكون في عام ٢٠٢٢م؟ ما هي العوامل التي تؤثر على استهلاك المياه؟ للإجابة على هذه الأسئلة، أجريت هذه الدراسة.

تعريف مسألة البحث

الماء عنصر أساسي في حياتنا، ولا يمكننا العيش بدون ماء. يستخدم الماء على نطاق واسع حياتنا اليومية: في الزراعة والصناعة والاستخدامات البلدية والمنزلية. على الرغم من أن مياه البحار والمحيطات تغطي حوالي ١٧٪ من سطح الأرض، إلا أن هذه المياه غير صالحة للاستخدام اليومي. تعاني المملكة العربية السعودية من نقص في الموارد المائية بسبب موقعها الجغرافي، ونقص موارد المياه الطبيعية مثل الأنهار والبحيرات وكذلك

انخفاض هطول الأمطار. وفقًا للهيئة العامة للإحصاء [٨]، كان متوسط هطول الأمطار في المملكة العربية السعودية هو ٧٦ ملم في الفترة من ٢٠١٠ إلى ٢٠١٦م، وهذه كمية قليلة جدًا مقارنة بالمعدلات العالمية. حاولت المملكة العربية السعودية إيجاد بدائل لتلبية الطلب المتزايد على المياه للاستخدامات البلدية والصناعية. أنشأت العديد من محطات تحلية المياه على طول ساحل البحر الأحمر والخليج العربي. تم تأسيس شركة تحويل المياه المالحة (SWCC) بموجب مرسوم ملكي في عام ١٩٧٤م كشركة حكومية مستقلة. SWCC هي المسؤولة عن تحلية مياه البحر وتزويد مناطق مختلفة في المملكة بالمياه المحلاة. على الرغم من إنشاء العديد من محطات تحلية المياه، لا يزال الطلب مرتفعًا. تساهم المياه المحلاة بأقل من ١٠٪ من الاحتياجات اليومية من المياه. على مر السنين ، فإن معدل استهلاك المياه في تزايد كما يلاحظ من الإحصاءات.

في هذه الدراسة، تم استخدام الأدوات والتقنيات لتطوير الطلب على المياه والتنبؤ به في المستقبل. تم استخدام تقنيات التحليل الإحصائي للتنبؤ بالطلب المستقبلي على المياه في مدينة جدة. وتمت الاستعانة ببيانات وزارة البيئة والمياه والزراعة (MEWA) وتحليلها لغرض هذه الدراسة.

أهمية البحث

سيساعد هذا البحث سلطات المياه على إدراك الحاجة المستقبلية للمياه في جدة، وبالتالي مساعدتهم في عملية صنع القرار لتلبية الطلب المتزايد على المياه. علاوة على ذلك، هذه الدراسة مهمة في تصميم وتشغيل البنية التحتية للمياه ومعدات التوزيع. سوف تستفيد SWCC و NWC أيضًا من خلال تزويدهم بنتائج هذه الدراسة واستنتاجها. أيضًا، سيتعرف سكان مدينة جدة كمية المياه الضخمة التي يستخدمونها ونتمنى أن يحاولوا زيادة وعيهم بمشكلة نقص المياه، حتى يغيروا سلوكهم. سيعمل هذا البحث على تعزيز الاستدامة في الموارد المائية في المملكة العربية السعودية.

أهداف البحث

أهداف هذه الدراسة هي:

- ١- تحديد وتحليل العوامل المؤثرة على استهلاك المياه في مدينة جدة.
- ٢- تطبيق أساليب التنبؤ المختلفة لتوقع كميات المياه اللازمة في جدة للسنوات القادمة.

منهجية البحث:

تم تنفيذ هذه الخطوات لتحقيق أهداف الدراسة:

- ١- البحث في الإنترنت عن الدراسات ذات الصلة
- ٢- تم تحميل وقراءة الكثير من الوثائق والتقارير والمقالات.
 - ٣- تم كتابة مقترح بحثي.
- تم جمع البيانات من مواقع مختلفة لاستهلاك المياه ولكل عامل من العوامل المحددة في الدراسة.
 بعض هذه المواقع هي: المواقع الإلكترونية الحكومية والتقارير الواردة من: وزارة البيئة والمياه والزراعة [9] (MEWA) ، الهيئة العامة للإحصاء [٨] ، موقع منظمة التعاون الاقتصادي والتنمية
 [٥٤]، موقع الوقت والتاريخ [٤٢] للحصول على بيانات درجة الحرارة والرطوبة في مدينة جدة.
 - ٥- تم تحليل البيانات بالتفصيل.
 - تم استطلاع العديد من مواقع الويب والبرامج التعليمية ومقاطع الفيديو على YouTube للتعلم.
- ٧- تم تنزيل ٣ برامج وتعلمها: برنامج SPSS، (الإصدار ١٦)، وبرنامج Minitab الإحصائي،
 (الإصدار ١٧)، وبرنامج Microsoft Excel
- ٨- تم تعلم الأساليب الإحصائية التحليلية، على سبيل المثال: تقنيات الانحدار، المتوسط المتحرك،
 والشبكات العصبية.
 - ٩- تمت مقارنة النتائج وتحليلها.

هيكل الرسالة:

تتكون هذه الرسالة من ستة فصول: الفصل الأول هو مقدمة الأطروحة. الفصل الثاني يبين الدراسات ذات الصلة في أدوات التنبؤ بالمياه والتقنيات المستخدمة. يتناول الفصل الثالث عملية جمع البيانات وتحليلها، لبيانات استهلاك المياه وكل العوامل المحددة في الدراسة. الفصل الرابع يوضح التنبؤ بالتسلسل الزمني لاستهلاك المياه. الفصل الخامس أيضًا للتنبؤ ولكن مع (عوامل) مع الانحدار، ومتوسط الانحدار المتكامل التلقائي (ARIMA) والشبكة العصبية الاصطناعية (ANN). الفصل السادس يلخص الدراسة في الختام والتوصيات للدراسات المستقبلية. وفيما يلى ملخص لكل فصل من فصول الرسالة.

الفصل الأول: المقدمة

احتوى الفصل الأول على: المقدمة، ومسألة البحث، أهمية البحث، وأهدافه، والمنهجية المتبعة، وهيكل الرسالة.

الفصل الثانى: المراجعة الأدبية

احتوى على عدد من الدراسات والأوراق العلمية المنشورة التي اتبعت طرق التنبؤ باستهلاك المياه باستخدام عدة تقنيات مختلفة، عن طريق برمجيات حاسوبية. حيث كان هناك رصد شامل للعوامل التي استخدمها الباحثون في دراساتهم حول هذا الموضوع. وسنستعرض بعضا منها:

دراسة أبو شمالة وباوزير في ٢٠١٧م بعنوان: التنبؤ بالطلب المحلي للمياه في مكة المكرمة، حيث استخدم نماذج الشبكات العصبية الاصطناعية (ANN) وباستخدام MATLAB. واختار عوامل مؤثرة مثل: سكان مكة المكرمة، ومساحة المنزل، ومعدل الدخل الشهري للفرد، ومعدل درجة الحرارة العظمى، ومتوسط عدد زوار مكة المكرمة. تم تجميع البيانات في الفترة ما بين ٢٠٠٢م و ٢٠١٢م من مصادر مختلفة.

دراسة أحمد سامي قميص، في ٢٠١٢م بعنوان: الطلب المستقبلي للمياه في مدينة جدة، وقدم ٣ سيناريوهات تمثل: نمو السكان بالحد الأعلى، والحد المتوسط والنمو الأقل. وتحت كل سيناريو، عنونَ مشكلة نقص المياه ووضحها، وأظهرت الدراسة بأنه بدون تخزين المياه ستواجه مدينة جدة مشكلة نقص مياه حقيقية.

دراسة عمر خضر عودة في ٢٠١٣م، بعنوان: نحو تقييم الوعي العام لمشكلة نقص المياه في المملكة العربية السعودية. هذه الدراسة أظهرت - من مسح لقياس الوعي العام حول مشكلة نقص المياه أجراه الباحث بمساعدة آخرين - أن هناك وعي منخفض لهذه المشكلة من بين الشريحة التي تم أخذ آرائها في الاستبيان.

دراسة محمود فرات، ومحمد علي يوردوسيف، ومصطفى إكران توران، في ٢٠٠٨م، بعنوان: تقييم تقنية الشبكات العصبية الاصطناعية ANN لنمذجة استهلاك المياه البلدية. وتم تطبيق الدراسة في مدينة إزمير بالجمهورية التركية. تم اختيار عوامل عدة منها: فاتورة المياه الشهرية، والسكان، وعدد المنازل، ومعدل التضخم، والناتج الوطني الإجمالي، ومعدل درجة الحرارة الشهرية، ومعدل سقوط الأمطار الشهري، ومعدل نسبة الرطوبة الشهرية. تم تجميع البيانات للفترة ما بين ١٩٩٧م و ٢٠٠٥م، من مصادر مختلفة.

دراسة عبدالخالق ياسار ومحمد بيلجيلي وإردوغان سيمسيك في ٢٠١٢م، بعنوان: التنبؤ بالطلب على المياه بناء على تحليل الانحدار اللاخطي المتعدد، طبقت تقنية التحليل خطوة بخطوة للانحدار المتعدد اللاخطي Stepwise Multiple Nonlinear Regression Analysis. وتم تطبيق الدراسة في مدينة أضنة بالجمهورية التركية. بعض العوامل التي تم اختيارها في الدراسة شملت: متوسط فاتورة المياه الشهرية، وعدد المشتركين الإجمالي، والحرارة، والرطوبة النسبية، والأمطار، ومدة سطوع الشمس، وسرعة الرياح والضغط الجوي. حسب الدراسة، فإنه من المتوقع أن يرتفع الطلب على المياه من ٣٨٨٤ مليون م٣ في ٢٠٠٩م إلى

دراسة جورج كيادو في ٢٠٠٧م، بعنوان: التنبؤ باستهلاك المياه في إسبانيا باستخدام نماذج السلاسل الزمنية أحادية المتغير، تم تجميع بيانات يومية للفترة من ١ يناير ٢٠٠١م إلى ٣٠ يونيو ٢٠٠٦م، وتم اختبارها باستخدام طرق (التجانس الأسي Exponential Smoothing، وARIMA وGARCH).

دراسة بوهان يانغ وويوي زهينغ وإكسيناي كي في ٢٠١٧م بعنوان: التنبؤ بالطلب على المياه في القطاع الصناعي باستخدام المنطق المعتمد على الحالة، دراسة حالة في مدينة زهانغي بجمهوية الصين الشعبية. تم إنشاء ٢٠٤ حالة من ٢٨ مدينة في الصين، واستخلصوا منها ٦ صفات للطلب على المياه في الصناعة. أظهرت النتائج أن الطلب على المياه في القطاع الصناعي في مدينة زهانغي في ٢٠٣٠م سيصل إلى ١١،٩ مليون طن. دراسة أن جي هوانغ وآخرون في ٢٠١٧م بعنوان: تحليل العوامل وتخمين نموذج لاستهلاك المياه في المعاهد الحكومية في تايوان. تم تصميم مصفوفة معاملات الارتباط بناء على سجلات لكل وحدة استهلاك مياه، وتم استخدام نماذج انحدار خطية وغير خطية بالإضافة إلى الشبكات العصبية الاصطناعية. أظهر تحليل العوامل المؤثرة في استهلاك المياه أن عدد الموظفين ومساحة الدور الواحد لهما الأثر الأكبر لتقدير الاستهلاك.

دراسة لميول كلارك فيلاسكو في ١٠١٧م بعنوان: التنبؤ باستهلاك المياه متوسط المدى باستخدام الشبكات العصبية الاصطناعية. تم تطبيق الدراسة على مدينة مندناو في الفلبين. كان الغرض من الدراسة إنشاء نموذج يتنبأ باستهلاك المياه الشهري لمدينة متحضرة للغاية في عدة تصنيفات: المحلي، والتجاري، والصناعي، وغيرها. تم تجميع بيانات ٢١سنة ماضية من ١٩٩٨م إلى ٢٠١٤م، للتنبؤ بالقيم المستقبلية من يناير إلى ديسمبر وغيرها. تم تجميع بيانات ٢١سنة ماضية الاصطناعية هي تقنية تنبؤ قابلة للتطبيق في التنبؤ باستهلاك المياه في الشهر التالي.

دراسة عبدالسلام ألتونياك وآخرون، في عام ٢٠١٧م، بعنوان: التنبؤ باستهلاك المياه الشهري باستخدام خوارزمية موسمية ونماذج قائمة على تحويل المويجات wavelet transform-based. طبق الباحثون خوارزمية المسبقة البيانات في Multiplicative Seasonal Algorithm لأول مرة كتقنية بديلة للمعالجة المسبقة للبيانات في مجال الهيدرولوجيا. تم تجميع بيانات شهرية للفترة من (يناير ١٩٩٢م وحتى ديسمبر ٢٠١٤م) بمجموع ٢٣ سنة سابقة من إدارة مياه بلدية إسطنبول الكبرى (ISKI). تم تطوير ثلاثة نماذج للتنبؤ باستهلاك المياه الشهري لمدينة إسطنبول.

دراسة تنغ تنغ فانغ و ريستو لاهديلما في عام ٢٠١٦م بعنوان: تقييم نموذج الانحدار الخطي المتعدد ونموذج الانكلا SARIMA للتنبؤ بالطلب على التدفئة لنظام التدفئة الخاص بالحي. في هذه الدراسة تم اقتراح نموذج انحدار بسيط أولي وفيه يتم التنبؤ بالطلب على التدفئة باستخدام درجة الحرارة لكل ساعة في الهواء الطلق وسرعة الرياح. ولتحسين دقة النموذج الأولي قام الباحثان بإضافة الرتم الأسبوعي لاستهلاك التدفئة كمكون اجتماعي. هذه الدراسة هي مثال على أن تطبيق نماذج مثل SARIMA في مجالات غير استهلاك المياه. تم تطبيق الدراسة في مدينة إسبو في فنلندا. وتم تجميع البيانات لأخر ٢٠ أسبوعا من ٢٠١٤م.

دراسة جوهر محمد من جامعة دهوك بالعراق، وحكمت إبراهيم من جامعة السليمانية بالعراق في ٢٠١٣م بعنوان: نموذج الشبكات العصبية الاصطناعية (متعدد الطبقات- متعدد الوظائف) للتنبؤ بالطلب على المياه البلدية. تم استخدام بيانات يومية وشهرية لمدة ١٤ سنة (من ١ يناير ١٩٩٢م وحتى ٣١ ديسمبر ٢٠١٤م) لمدينة تامبا في أمريكا. لاختبار دقة النماذج المطورة، تم استخدام RD ومقابيس الدقة RMSE و RMSE و وبالإضافة إلى اختبار فرضيات. تم استخدام كود برنامج MATLAB لبناء وتمرين النموذج المطور.

وللاطلاع على دراسات أكثر في المجال، يرجى مراجعة الجزء الإنجليزي من هذه الرسالة.

الفصل الثالث: تجميع البيانات وتحليلها

في هذا الفصل، تم استعراض بيانات استهلاك المياه الشهري لمدينة جدة، وتحليلها وعرضها باستخدام الجداول والرسوم البيانية. وأظهرت التحليلات أن متوسط كمية المياه الشهرية التي تم تزويد مدينة جدة بها في الفترة من يناير ٢٠٠٩م إلى أكتوبر ٢٠١٨م، بلغت حوالي ٣١،٥ مليون م٣، والمتوسط السنوي بلغ ٣٧٣،٧ مليون م٣ لنفس الفترة. وقد بلغ متوسط النمو السنوي في استهلاك المياه حوالي ١٨،٧٨ مليون م٣ (بنسبة ٣٠،٥٪). إلا أنه في عام ٢٠١٥م، حدث انخفاض كبير في استهلاك المياه، ولم يتم تحديد أسباب انخفاض الاستهلاك في التقارير التي تم استعراضها، لكننا نعتقد أن السبب في ذلك قد يعزى إلى نظام التعرفة الجديد المطبق في السنوات الأخيرة، بالإضافة إلى مغادرة العديد من المقيمين في المملكة العربية السعودية بسبب اللوائح الجديدة المطبقة عليهم.

ثم تطرقنا إلى العوامل التي تؤثر في استهلاك المياه والمرتبطة بها. وتم اختيار العوامل - من خلال المراجعة الأدبية التي تمت- وهي على النحو التالي: عدد سكان مدينة جدة، والعوامل الجوية: درجات الحرارة الشهرية (الكبرى والصغرى والمتوسط) ونسبة الرطوبة الشهرية (أعلى نسبة، وأقل نسبة، والمتوسط)، والعوامل الاقتصادية (الناتج المحلى الإجمالي، ومعدل التضخم الشهري، ونصيب الفرد من الناتج المحلي). حيث أظهر تحليل سكان مدينة جدة أن النمو السنوي لسكان جدة في الفترة من (٢٠٠٩م إلى ٢٠١٨م) بلغ حوالي ١١٣,٣٣٠ في السنة (٣,٠٣٪)، وإذا استمر معدل النمو بنفس الوتيرة، فإن عدد سكان جدة سيصل إلى ٥ ملابين نسمة في عام ٢٠٢٣م. وبالنسبة إلى العوامل الجوية فقد تمت دراسة عاملين منها بالتفصيل وهي: درجة الحرارة والرطوبة. وسنذكر بعض الأرقام والنتائج التي حصلنا عليها: أقصى درجة حرارة مسجلة في جدة في الفترة من (يناير ٢٠٠٩م إلى أكتوبر ٢٠١٨م) كانت ٥١ م° في يونيو ٢٠١٠. وأدنى درجة حرارة مسجلة في جدة في نفس الفترة كانت ١٣ م° في يناير ٢٠١٥م، ومتوسط درجة الحرارة للفترة المذكورة أعلاه في جدة هو ـ ٢٩,٤ م°. بالنسبة للرطوبة، فقد بلغت أقصى نسبة رطوبة مسجلة في جدة في الفترة من (يناير ٢٠٠٩ إلى أكتوبر ٢٠١٨م) ١٠٠٪ ، وحدث ذلك ١٩ مرة خلال الفترة المذكورة أعلاه (لمزيد من التفاصيل يرجى مراجعة صفحة رقم ٥٦، وأدنى نسبة رطوبة سجلت في جدة في الفترة أعلاه هي ٣٪ في يونيو ٢٠١٠م. وكان متوسط الرطوبة في جدة للفترة المبينة أعلاه هو ٣٥٥٥٪. وبعد استعراضنا للنتائج والأرقام، تم حساب العلاقة بين متوسط درجة الحرارة الشهري ومتوسط الرطوبة الشهري، حيث كانت قيمة الارتباط بين هذين المتغيرين -٧,٢٣. وبالتالي يمكننا أن نستنتج أن هناك علاقة ضعيفة للغاية بين درجة الحرارة والرطوبة.

انتقانا بعد ذلك إلى دراسة العوامل الاقتصادية بالتفصيل وهي: التضخم، الناتج المحلي الإجمالي، ونصيب الفرد من الناتج المحلي الإجمالي، وسنعرض أهم الأرقام والنتائج التي حصلنا عليها كما فعلنا في العوامل الجوية: بلغ الحد الأقصى لمعدل التضخم الشهري (٩,٧٪) في يناير ٢٠٠٩م. والحد الأدنى لمعدل التضخم الشهري (-٧,١٪) في نوفمبر ٢٠١٧م، وبلغ متوسط معدل التضخم الشهري في المملكة العربية السعودية للفترة من يناير ٩٠٠٠م حتى أكتوبر ٢٠١٨م حوالي ٩,٩٪٪ بالنسبة إلى الناتج المحلي الإجمالي السنوي، فقد بلغ أعلى ناتج محلي إجمالي في المملكة العربية السعودية في الفترة المبينة أعلاه في عام ٢٠١٤م مبلغ ٢٫٨ تريليون ريال سعودي. وأقل ناتج محلي إجمالي في نفس الفترة أعلاه كان في عام ٢٠٠٩م مبلغ ٢٫١ تريليون ريال سعودي، وبلغ متوسط الناتج المحلي الإجمالي السنوي للمملكة العربية السعودية في الفترة المبينة أعلاه ٢٫٤ تريليون ريال سعودي. وبالانتقال إلى نصيب الفرد من الناتج المحلي، فكان أعلى نصيب للفرد من الناتج المحلي الإجمالي في منوسط الناتج المحلي الفرد عن الناتج المحلي الإجمالي في عام ٢٠٠٤م. وأقل نصيب للفرد من الناتج المحلي الفرد ٢٠٥٠م دولار أمريكي (٢٠٨٠م ريال سعودي) في عام ٢٠١٤م. وأقل نصيب للفرد من الناتج المحلي الفرد عن فس الفترة ٢٠٨م دولار (٢٠٠٠م ريال سعودي) في عام ٢٠٠٩م. وبلغ متوسط الناتج المحلي الفرد في نفس الفترة ٢٠٨م ٢٠٠ دولار (٢٠٠٠م ريال سعودي) أبي عام ٢٠٠٩م. وبلغ متوسط الناتج المحلي الفرد في نفس الفترة ٢٠٨م ٢٠٠٠ دولار (٢٠٠٠م ريال سعودي) أبي عام ٢٠٠٩م. وبلغ متوسط الناتج المحلي اللورد في نفس الفترة ٢٠٨م ٢٠٠ دولار (٢٠٨٠م ١٨ ريال سعودي).

الجزء الأخير من الفصل، يتعلق باختبار معامل الارتباط (بيرسون) بين استهلاك المياه وكل من العوامل المذكورة أعلاه. وأظهر الاختبار أن أقوى العوامل المرتبطة بالاستهلاك (عددها خمسة) مرتبة تنازليا على النحو التالي: سكان مدينة جدة، إجمالي الناتج المحلي السنوي، معدل التضخم في السعودية، نصيب الفرد من الناتج المحلي الإجمالي، ثم درجة الحرارة الدنيا الشهرية. معامل الارتباط لهذه العوامل الأربعة كالتالي: الناتج المحلي الإجمالي، ثم درجة الحرارة الدنيا الشهرية. ولمزيد من التفاصيل، يرجى الرجوع إلى الجدول ٣٠٢، ١٠ على التوالي. ولمزيد من التفاصيل، يرجى الرجوع إلى الجدول ٣٠٢، صفحة رقم ٥٦. ونود أن نشير إلى أن الارتباط بين استهلاك المياه ومعدل التضخم هو ارتباط عكسي.

الفصل الرابع: التنبؤ باستخدام السلاسل الزمنية

في بداية الفصل ، استعرضنا التقنيات التي ستستخدم في الدراسة، وتحدثنا عنها، وفترات التنبؤ ومقاييس الدقة. واستعرضنا تقنيات (تحليل الاتجاه) المتوفرة في برنامج Minitab: الخطي، والنمو الأسي والتربيعي. في كل تقنية، قدمنا المعادلة (النموذج)، ومقاييس الدقة بالإضافة إلى الرسم البياني الذي يعرض النموذج. ثم حاولنا

استخدام طريقة التجانس الأسي باستخدام برنامج Excel وMinitab. في برنامج Minitab كان هناك نوعان لهذه التقنية: مفردة ومزدوجة. جربنا كلا منهما، ووضعنا جميع الأرقام والنماذج التي أظهرها البرنامج.

آخر التقنيات المستخدمة في هذا الفصل كانت: طريقة (هولت وينترز الإضافية). لقد أعطتنا هذه الطريقة أفضل دقة بين جميع التقنيات الأخرى المستخدمة في هذه الدراسة. وفيما يلي مقاييس الدقة لهذا النموذج:

المقاييس

Mean Absolute Percentage Error (MAPE) 3.361E-02

Mean Absolute Deviation (MAD) 1.046 E+06

Mean Squared Deviation (MSD) 1.944 E+12

Root Mean Squared Error (RMSE) 1.395E+06

تم استخدام هذه التقنية للتنبؤ باستهلاك جدة للمياه لمدة ٤ سنوات قادمة حتى نهاية عام ٢٠٢٢م. أظهرت النتائج باستخدام برنامج Minitab أننا قد نستهلك ما مجموعه ٤٤,٦١٧,٩٨٩ م ٣ من المياه في شهر واحد في ديسمبر ٢٠٢٢م بنسبة تزيد على ١٥٪ مقارنة بشهر أكتوبر ٢٠١٨م. وسيصل إلى الحد الأقصى وهو ٤٥,٤٨٥,٠٥٨ م٣ في يوليو ٢٠٢٢م.

تم استخدام نفس الأسلوب في برنامج SPSS وأظهرت النتائج أنه في شهر ديسمبر من عام ٢٠٢٢م، قد نستهاك ٢٠ استخدام نفس الأسلوب في برنامج SPSS وأظهرت النتائج أنه في شهر ديسمبر من عام ٢٠١٨م، لكنها ستصل إلى أقصى حد عند ٢٠١٨م، أفي يوليو ٢٠٢٢م. تجدر الإشارة إلى أنه قد ظهر اختلاف بين البرنامجين - لا يمكن تفسيره – يقدر بحوالي ٢ مليون م بين هذين البرنامجين.

الفصل الخامس: التنبؤ باستخدام العوامل المؤثرة في الاستهلاك

في البداية ، تم كتابة مقدمة لاستعراض جميع الأقسام التالية في هذا الفصل. كان القسم الثاني حول تقنية الانحدار، حيث أظهرت النتائج النهائية أنه يمكن تفسير X0,۷۲٪ من التباين في Y بواسطة نموذج الانحدار الذي توصلنا له. يوضح الشكل 1 في الفصل أن العلاقة بين المتغيرات X0 و X0 في نموذجنا كانت ذات دلالة إحصائية (قيمة X0,001). المعادلة النموذجية كانت:

 $Y = -328361876 + 177.5X_1 - 10.8X_2 + 4544382X_3 - 923X_4 + 770039X_5 - 0.000022X_1^2 + 0.1554 X_4^2 - 1.912 X_1 * X_3 + 11.60 X_2 * X_3 - 70.9 X_4 * X_5$

كانت هناك ١٢ خطوة تسلسلية لبناء النموذج التي تُظهر الترتيب الذي تمت به إضافة المتغيرات أو إزالتها.

كان القسم التالي حول نموذج ARIMA. لقد جربنا نماذج مختلفة من ARIMA و (0) 0،1،(0)ARIMA و 0،0،0،ARIMA. لقد جربنا نماذج مختلفة من ARIMA (0) و (0،1،(0)ARIMA و 12،1،ARIMA (0) و 12،1،ARIMA (0) مع خمسة، وأربعة وثلاثة عوامل. بدأنا في كل تجربة بحساب مقاييس الدقة لجميع التجارب. كان أفضل نموذج تجربة (من حيث مقاييس الدقة) هو (12،1،ARIMA (0) مع عوامل ، و RMSE = 1.754E6 وكانت مقاييس الدقة كالتالي: 12،1،ARIMA (1) أكثر. يظهر من الرسوم MAPE = 4.26 ، RMSE = 1.754E6 أكثر. يظهر من الرسوم البيانية والإحصائيات ، أن المعلمة في نموذج ARIMA هي المعلمة الأكثر أهمية ولها تأثير قوي على التنبؤ ودقة النموذج. استنتجنا أيضًا أن دقة النموذج تزداد مع زيادة عدد العوامل. كانت نتائج النموذج مع ٥ عوامل هي الأفضل بين جميع النماذج الأخرى، وهذا يعني أن العوامل المترابطة (على الرغم من أن بعضها لا يرتبط ارتباطًا كبيرًا باستهلاك المياه) له تأثير في دقة النموذج.

Accuracy of ARIMA Accuracy of ARIMA Accuracy of ARIMA
$$(0,1,12) \text{ model with} \qquad (0,1,12) \text{ model with four} > \qquad (0,1,12) \text{ model with}$$
five factors factors three factors

القسم التالي من الفصل كان عن MLP-NN، أجريت تجارب عديدة للحصول على دقة نموذج أفضل. تم عرض نتائج التجارب الأكثر دقة في كل عدد من الوحدات (الخاصة بالطبقة المخفية) في الجدول ٥,٢٨. استنتجنا أن إضافة المزيد من الطبقات لا يؤدي بالضرورة إلى تحسين نتائج دقة النموذج. من ناحية أخرى، لا تحتاج بعض النماذج إلى جميع العوامل الخمسة لإعطاء النموذج الأكثر دقة. وهذا يعني إضافة المزيد من العوامل في MLP-NN قد لا تعطي دقة أعلى. بدأنا بنماذج طبقة مخفية واحدة، ثم بطبقتين مخفيتين، وتم تقسيم مجموعة البيانات (ما مجموعه ١٠٨) إلى مجموعتين فرعيتين: تتكون مجموعة تدريب النموذج من أول (٨٣) سجلات شهرية تمثل ٧٦,٩ ٪ من مجموعة البيانات ، بينما غطت مجموعة اختبار النموذج القراءات (٢٠) الباقية، والتي تمثل ٢٠,١٪ من البيانات. كان أفضل نموذج من بين جميع التجارب الأخرى هو MLP-NN

مع ۱ طبقة مخفية و ۳ عوامل، وكان "الخطأ النسبي" (۱۷۷ر، في مجموعة التدريب، و ۰,۰۹۲ في مجموعة الاختبار).

الفصل السادس: الاستنتاجات والتوصيات

الاستنتاجات:

- كان الهدف من دراستنا هذه، هو تحديد العوامل التي تؤثر على استهلاك المياه في مدينتنا ، ثم بناءً على تلك
 العوامل ، يتم إجراء عملية تنبؤ باستخدام تقنيات إحصائية مختلفة.
- تم جمع بيانات استهلاك المياه في مدينة جدة لمدة ١١٨ شهرًا من يناير ٢٠٠٩م إلى أكتوبر ٢٠١٨م. وكان
 مصدر البيانات المستخدمة في الدراسة هو بوابة وزارة البيئة والمياه والزراعة السعودية.
- بلغ متوسط استهلاك المياه لمدينة جدة في الفترة من يناير ٢٠٠٩م حتى أكتوبر ٢٠١٨م حوالي ٣١,١٩ مليون متر مكعب شهريًا، و ٣٧٣,٦٩ مليون متر مكعب سنويًا.
- بلغ متوسط النمو السنوي ١٨,٧٨ مليون متر مكعب من المياه (بنسبة ٢٠١٠٪) ومع ذلك، في عامي ١٠٠٥ مو ٢٠١٦م، ٢٥٠١م و٢٠١٠م، حدث انخفاض ملحوظ في استهلاك المياه بنسبة تراوحت بين (٣,١٠٠٪ و ٣,١٠٠٪ على التوالي). لم يتم تحديد أسباب الانخفاض في الاستهلاك، لكننا نعتقد أن السبب في ذلك قد يعزى إلى نظام التعريفة الجديد المطبق في السنوات الأخيرة، لذلك أصبح الناس حذرين بعض الشيء بشأن الفواتير والاستهلاك، بالإضافة إلى مغادرة العديد من المقيمين في المملكة العربية السعودية بسبب الرسوم الجديدة التي تم تطبيقها.
- تم اختيار عوامل قد تكون مؤثرة في الاستهلاك لدراستها وتحليلها، من خلال المراجعة الأدبية التي تمت.
 وقسمت هذه العوامل إلى ثلاثة أقسام: السكان، والعوامل الجوية، والعوامل الاقتصادية.
- أظهر تحليل سكان مدينة جدة أن النمو السنوي لسكان جدة في الفترة من (٢٠٠٩م إلى ٢٠١٨م) بلغ حوالي ١١٣,٣٣٠ في السنة (٣,٠٣٪). إذا استمر معدل النمو بنفس الوتيرة، فإن عدد سكان جدة سيصل إلى ٥ ملابين نسمة في عام ٢٠٢٣م.
- تمت دراسة عاملين من العوامل الجوية بالتفصيل وهي: درجة الحرارة والرطوبة. أقصى درجة حرارة مسجلة في جدة في الفترة من (يناير ٢٠٠٩م إلى أكتوبر ٢٠١٨م) كانت ٥١ م° في يونيو ٢٠١٠م. وأدنى درجة حرارة مسجلة في جدة في نفس الفترة كانت ١٣ م° في يناير ٢٠١٥م، ومتوسط درجة الحرارة للفترة المذكورة أعلاه في جدة بلغ ٢٩,٤ م°.

- بلغت أقصى نسبة رطوبة مسجلة في جدة في الفترة من (يناير ٢٠٠٩م إلى أكتوبر ٢٠١٨م) ١٠٠٪،
 وحدث ذلك ١٩ مرة خلال الفترة المذكورة أعلاه (لمزيد من التفاصيل يرجى مراجعة صفحة رقم ٤٣ في الرسالة. وأدنى نسبة رطوبة سجلت في جدة في الفترة أعلاه هي ٣٪ في يونيو ٢٠١٠م. وكان متوسط الرطوبة في جدة للفترة المبينة أعلاه هو ٥٥,٣٪.
- تم حساب العلاقة بين متوسط درجة الحرارة الشهري ومتوسط الرطوبة الشهري. كانت قيمة الارتباط بين هذين المتغيرين -٠,٢٣. وبالتالي يمكننا أن نستنتج أن هناك علاقة ضعيفة للغاية بين درجة الحرارة والرطوبة.
- تم دراسة العوامل الاقتصادية بالتفصيل وهي: التضخم، الناتج المحلي الإجمالي، ونصيب الفرد من الناتج المحلى الإجمالي.
- كان الحد الأقصى لمعدل التضخم الشهري (۲,۹٪) في يناير ۲۰۰۹م. والحد الأدنى لمعدل التضخم الشهري (-۷,۱٪) في نوفمبر ۲۰۱۷م، وبلغ متوسط معدل التضخم الشهري في المملكة العربية السعودية للفترة من يناير ۲۰۰۹م حتى أكتوبر ۲۰۱۸م حوالي ۲,۹۹٪.
- بلغ أعلى ناتج محلي إجمالي في المملكة العربية السعودية في الفترة المبينة أعلاه في عام ٢٠١٤م مبلغ ٢,٨ تريليون ريال سعودي. وأقل ناتج محلي إجمالي في نفس الفترة أعلاه كان في عام ٢٠٠٩م مبلغ ٢,٦ تريليون ريال سعودي. وبلغ متوسط الناتج المحلي الإجمالي السنوي للمملكة العربية السعودية في الفترة المبينة أعلاه ٢,٤ تريليون ريال سعودي.
- بلغ أعلى نصيب للفرد من الناتج المحلي الإجمالي في الفترة المبينة أعلاه ٢٥,٥٧٠ دولار أمريكي (٩٥,٨٨٧ ريال سعودي) في عام ٢٠١٤م، وذلك بسبب زيادة دخل المملكة من البترول. وأقل نصيب للفرد من الناتج المحلي السنوي للفرد ١٧,٨٨٠ دولار (٢٧,٠٥٠ ريال سعودي) في عام ٢٠٠٩م، وذلك بسبب الأزمة الاقتصادية العالمية التي حدثت في عام ٢٠٠٨م وانخفاض الطلب على البترول وكذلك سعره. وبلغ متوسط الناتج المحلى الإجمالي للفرد في نفس الفترة ٢٢,٠٢٨ دولار (٨٢,٦٠٨ ريال سعودي).
- تم استخدام معامل الارتباط بيرسون، لتحديد العوامل الأكثر ارتباطا مع استهلاك المياه. كان الارتباط على التوالي على النحو التالي: سكان مدينة جدة، إجمالي الناتج المحلي السنوي، معدل التضخم في السعودية، نصيب الفرد من الناتج المحلى الإجمالي، ثم درجة الحرارة الدنيا الشهرية. معامل الارتباط لهذه العوامل

الأربعة هي: ٠,٨٠٦، ، ٢٠٢٦، ، ١,٨٠٦، و ٢٩٩٦، على التوالي. لمزيد من التفاصيل، يرجى الرجوع إلى الجدول ٣٠٢٢ صفحة رقم ٥٦ في الرسالة.

• تم استخدام طريقة Time-Series Analysis للتنبؤ باستخدام البيانات التاريخية لاستهلاك المياه، دون النظر إلى العوامل المؤثرة. وقد تم استخدام تقنيات التنبؤ التالية: تحليل الاتجاه: (الخطي ، الأسي المزدوج ، الأسي المؤثرة وقد عساب مقاييس الدقة (MAD ، MAPE و MSD) لكل تقنية. وقد أظهرت النتائج أن أفضل تقنية بين الكل هي: Holt's and Winters مع العوامل التالية:

$$\delta(\text{seasonal}) = 0.001$$
. $\gamma(\text{trend}) = 0.001$ $\alpha(\text{level}) = 0.386$

وقد أظهرت النتائج أن الاستهلاك سيرتفع من ١٠ إلى ١٠٪ وفقًا لبيانات شهر أكتوبر ٢٠١٨م. باستخدام برنامج SPSS، وقد بلغ الاستهلاك المتوقع في مدينة جدة في ديسمبر ٢٠٢٢م حوالي ٢٠٢٦ مليون م٣ من المياه، في حين أظهرت نتائج برنامج Minitab استهلاك ٢٠٢٦ مليون م٣ من المياه في ديسمبر ٢٠٢٢م. كما بلغ أعلى معدل استهلاك شهري حوالي ٤٥،٥ مليون متر مكعب في يوليو ٢٠٢٢م.

• كانت مقاييس الدقة لطريقة Holt's and Winters هي كالتالي:

Mean Absolute Percentage Error (MAPE)	3.361E+00
Mean Absolute Deviation (MAD)	1.046 E+06
Mean Squared Deviation (MSD)	1.944 E+12
Root Mean Squared Error (RMSE)	1.395E+06

- وقد تم التنبؤ باستهلاك المياه في مدينة جدة باستخدام العوامل المؤثرة التي تم تحديدها بتحليل الارتباط بين استهلاك المياه وهذه العوامل. تم تحديد تلك العوامل من الفصل الثالث في الرسالة. وتم اختيار أفضل خمسة عوامل مترابطة. وباستخدام ثلاث تقنيات تنبؤ مختلفة: الانحدار المتعدد، ARIMA والشبكة العصبية.
- كما تم التنبؤ باستهلاك المياه في مدينة جدة باستخدام تقنية الانحدار المتعدد. وتم تطوير عدة نماذج بهذه
 الطريقة، وأظهرت المقارنة بين نتائج هذه النماذج أن أفضل نموذج هو:

 $Y = -328361876 + 177.5X_1 - 10.8X_2 + 4544382X_3 - 923X_4 + 770039X_5 - 0.000022X_1^2 + 0.1554X_4^2 - 1.912X_1 * X_3 + 11.60X_2 * X_3 - 70.9X_4 * X_5$

أين: Y = Imps(Y) الشهري للمياه بالمتر المكعب X1 = X2 الشهري الناتج المحلي الناتج المحلي الشهري للفرد الشهري (بالمليون ريال)، X3 = X3 السبح الشهري الشهرية في مدينة جدة.

• وقد كانت مقاييس الدقة لهذا النموذج على النحو التالى:

Mean Absolute Percentage Error (MAPE) 4.25938E-02

Mean Absolute Deviation (MAD) 1.30427E+06

Mean Squared Deviation (MSD) 2.61040E+12

Root Mean Squared Error (RMSE) 1.61567E+06

- في ARIMA ، تم تجربة نماذج متعددة ذات معايير مختلفة، ويوضح الجدول ٥٠١٩ في صفحة رقم ١٠١ في البداية، ثم في الرسالة، مقاييس الدقة لجميع النماذج. وقد تمت تجربة ARIMA (0,0,0) و (0,0,0) في البداية، ثم اقترح البرنامج (Expert Modeler) من القائمة المتاحة.
- من الملخص الموضح في جدول ٥٠١٩ صفحة رقم ١٠١ في الرسالة، من الواضح أن نماذج ARIMA في الرسالة، من العوامل (0,1,12) تتمتع بأفضل دقة بين جميع نماذج ARIMA الأخرى. ARIMA (0,1,12) مع عوامل هو الأفضل بين نماذج ARIMA الأخرى.
- كما تم التنبؤ باستهلاك المياه في مدينة جدة باستخدام تقنية الشبكة العصبية (MLP-NN) وكانت التقنية الأخيرة المستخدمة في هذه الدراسة. وقد تم تطوير عدة نماذج باستخدام هذه التقنية وأجريت تجارب متعددة للوصول إلى أعلى دقة وأفضل نموذج. وقد تم عرض نتائج النماذج الأكثر دقة في كل عدد من الوحدات Units في الجدول ٥٠٣١ صفحة ١١١ في الرسالة.
- وقد أظهرت التجارب التي تم إجراؤها أن إضافة المزيد من الطبقات لا يؤدي بالضرورة إلى تحسين نتائج دقة النموذج. ومن ناحية أخرى، لا تحتاج بعض النماذج إلى جميع العوامل الخمسة ليكون النموذج الأكثر دقة. وهذا يعني إضافة المزيد من العوامل في MLP-NN قد لا تعطي دقة أعلى. وقد تم عمل تجارب على النماذج بطبقة مخفية واحدة وبطبقتين للحصول على مقاييس دقة أفضل. وأظهرت النتائج في التجارب التي أجريناها أن زيادة عدد الطبقات لم تحسن مقاييس الدقة لنفس النموذج.

• تم تقسيم مجموعة البيانات (ما مجموعه ۱۰۸) إلى مجموعتين فرعيتين: تتكون مجموعة التدريب من أول (۸۳) سجلات شهرية تمثل ۷٦٫۹ ٪ من مجموعة البيانات، بينما غطت مجموعة الاختبار السجلات الشهرية (۲۰) الباقية، والتي تمثل ۲۳٫۱ ٪ من البيانات. كان أفضل نموذج من بين جميع التجارب الأخرى هو MLP-NN مع ۱ طبقة مخفية و ۳ عوامل ، وكان "الخطأ النسبي" فيها (۱۷۷٫ في مجموعة الاختبار).

التوصيات:

- يمكن توسيع هذه الدراسة وتطويرها أكثر من خلال محاولة استخدام برمجيات أكثر تخصصًا في الشبكة العصبية.
- يمكن أيضًا إجراء الدراسة باستخدام عوامل أخرى بدلاً من العوامل المحددة في هذه الدراسة، أو بإضافة عوامل أخرى إلى العوامل المحددة في هذه الدراسة. وبعض العوامل الأخرى التي يمكن إضافتها هي: متوسط فاتورة المياه الشهرية، وعدد المنازل ومجموع عدد المشتركين. إذا كانت البيانات الخاصة بهذه العوامل متاحة، فسيكون النموذج أكثر دقة وقد يظهر نتائج أفضل.
- يجب دراسة تأثير سعر الماء على بيانات الاستهلاك. ولم يتم أخذ هذا العامل في الاعتبار في هذه الدراسة
 بسبب عدم توفر البيانات المطلوبة. وتعتبر دراسة هذا العامل اقتراحا جيدا للباحثين في الدراسات المستقبلية.
 - هناك عاملان مؤثر ان في تكلفة المياه:
- أولا: نقل المياه من محطات تحلية المياه إلى المدن الأخرى بواسطة الأنابيب الضخمة وباستخدام
 المضخات. يتم بناء محطات التحلية على بعد مئات الكيلومترات من المدن.
- ثانيا: التسربات الموجودة في شبكة نقل المياه داخل المدن. هذه التسربات تهدر آلاف اللترات من المياه
 الصالحة للشرب سنويا. ويؤثر هذا الهدر في بيانات الاستهلاك اليومي للفرد من المياه.
- بالنسبة للدراسات المستقبلية، من الأفضل استخدام بيانات الاستهلاك اليومي للفرد من المياه، بدلا من كمية المياه المستهلكة شهريا لمدينة جدة، لأن هذا المقياس مستخدم بكثرة حول العالم.
- فيما يتعلق بشركات المياه، من المهم تقسيم خطة الصيانة إلى عمليات أسبوعية، شهرية وسنوية. هذا الأمر سيساعدهم في جعل النظام ذا كفاءة عالية وينتج نفس الكمية الإنتاجية المتوقعة والمخطط لها. وكذلك سيبقي على مستويات عالية من رضا العملاء.
- ينبغي على وزارة البيئة والمياه والزراعة جمع بيانات مفصلة عن طريق تقسيم المجتمع لشرائح مختلفة مثل: القطاع السكني والتجاري والصناعي. بهذه الطريقة، يمكننا إجراء دراسات على كل شريحة على حدة.
- استهلاك المياه للفرد مرتفع للغاية في جدة (حوالي ٢٨٠ لتر/ يوم). على الرغم من أن نصيب الفرد من الاستهلاك في مدينة جدة هو الثالث في المملكة العربية السعودية. فقد بلغ في المنطقة الشرقية ٣٨١ لترًا في اليوم، وفي الرياض ٣٥٧ لترًا في اليوم) [٩]، ويوصى بشدة تخفيض الاستهلاك إلى المعدل العالمي البالغ ١٥٠ لترا في اليوم.

- من المهم جدا توصية الجهات ذات العلاقة بإيجاد بدائل وطرق تحلية صديقة للبيئة من تلك المستخدمة حاليا، أو على الأقل تقليل العوادم والمخلفات الناتجة عن التحلية إلى أقل كمية ممكنة.
 - الأخطار الناتجة عن محطات التحلية، لها تأثيرات سلبية إما:
 - على الغلاف الجوي وطبقة الأوزون، بسبب أعمدة الدخان الصاعدة من المحطات.
 - أو من المياه الساخنة الناتجة عن تبريد المكائن والتوربينات المستخدمة في المحطات.
 - أو الأملاح العائدة مرة أخرى إلى البحر، وتأثيرات ذلك كله على الكائنات البحرية.
- ضرورة توفير بيانات تفصيلية صحيحة وكاملة للقطاعات المختلفة، وإتاحتها وتوفيرها للباحثين، لإجراء الدراسات والبحوث الحيوية المهمة لتطوير وتحسين هذه القطاعات.



Forecasting the Future Demand for Water in Jeddah City Using Different Forecasting Techniques

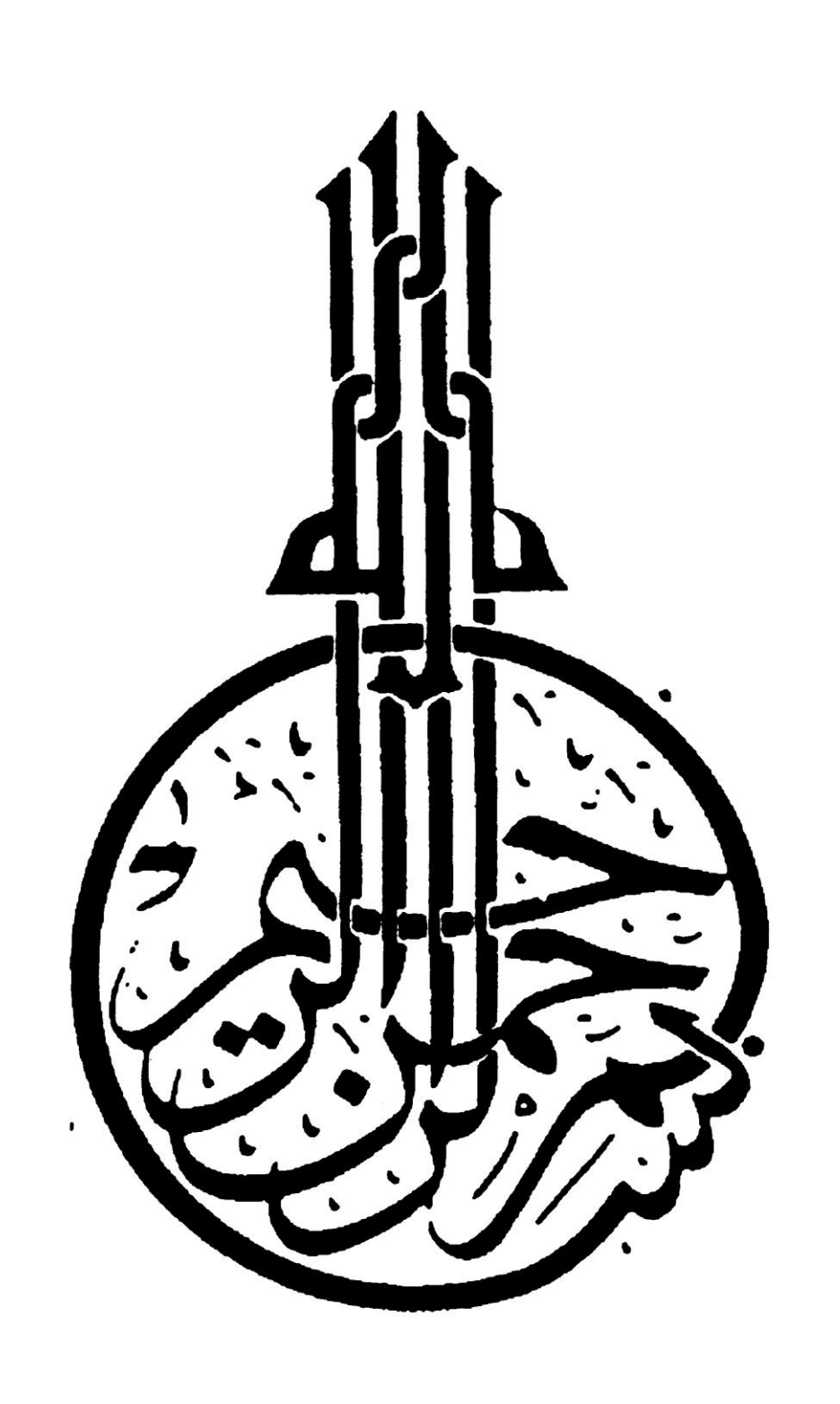
Hamed Abdul Aleem Wardak

A thesis submitted for the requirements of the degree of Master of Science [Industrial Engineering]

Faculty of Engineering

King Abdul Aziz University - Jeddah

Shaban 1440 H - May 2019 G



Forecasting the Future Demand for Water in Jeddah City Using Different Forecasting Techniques

Hamed Abdul Aleem Wardak

A thesis submitted for the requirements of the degree of Master of Science [Industrial Engineering]

Supervised by Prof. Dr. Seraj Y. Abed Dr. Nader Al Sayed

FACULTY OF ENGINEERING
KING ABDUL AZIZ UNIVERSITY
JEDDAH - SAUDI ARABIA
Shaban 1440 H - May 2019 G

Forecasting the Future Demand for Water in Jeddah City Using Different Forecasting Techniques

Hamed Abdul Aleem Wardak

This thesis has been approved and accepted in partial fulfillment of the requirements for the degree of Master of Science [Industrial Engineering]

EXAMINATION COMMITTEE

	Name	Rank	Field	Signature
External Examiner	Prof. Omar S. Abu-Rizaiza	Professor	Civil Eng.	
Internal Examiner	Dr.Mohammed Balbaid	Associate Prof.	Industrial Eng.	
Principal Advisor	Prof. Seraj Y. Abed	Professor	Industrial Eng.	

KING ABDUL AZIZ UNIVERSITY
Shaban 1440 H - May 2019 G

Dedicated to

This work is dedicated to my parents for their unconditional love, efforts and support they provided me. I pray that they live long and happy lives.

Also, I want to dedicate this work to all my good teachers who taught me, starting from the primary school, intermediate and high school. I also don't want to forget my professors in the bachelor and master level.

I also want to dedicate this work to all who knew and loved me sincerely.

Acknowledgment

In the name of Allah, the most gracious, most merciful.

First, I acknowledge my thankful to Almighty Allah, for his help, blessings and all other graces. I would secondly like to convey my appreciation to my supervisor Prof. Dr. Seraj Abed for his effort, guidance and encouragement. Last but not least I would like to acknowledge the support of King Abdul Aziz University for giving me this opportunity to pursue my study.

Forecasting the Future Demand for Water in Jeddah City Using Different Forecasting Techniques

Hamed Abdul Aleem Wardak

Abstract

Water demand in Jeddah city is too high over the years, and that is confirmed by looking at the statistics from Ministry of Environment, Water and Agriculture (MEWA); it is clear that the rate of water consumption is increasing. Forecasting for water consumption is important for water authorities for decision making to meet the growing demand. The objective of this study is to identify factors affecting water consumption, and to forecast water quantities needed in Jeddah city for next years. Statistical forecasting techniques were used on monthly water consumption data for Jeddah City from January 2009 to October 2018 with a total of 118 months to reach the estimated quantities needed for Jeddah by the end of 2022.

Factors that influence water consumption were selected based on literature review that was carried out as follows: The population of Jeddah city and the weather factors: Monthly temperature (large, small and medium), monthly humidity (highest percentage, lowest ratio, average); economic factors are: Gross Domestic Product (GDP), monthly inflation rate, per capita GDP. Pearson Correlation Coefficient was used to determine the correlation between water consumption in Jeddah city and each of those factors

separately. Correlation analysis showed that Jeddah city water consumption was significantly correlated with five factors. These factors are: Jeddah population, Saudi Arabia GDP, Saudi Inflation rate, GDP per capita and the monthly average minimum temperature of Jeddah city. The correlation coefficient for these five factors was as follows: 0.806, 0.726, -0.683, 0.452 and 0.396, respectively.

Historical monthly water data of Jeddah city for 118 months was used as a time-series to forecast water demand for Jeddah. Seventeen different forecasting techniques in SPSS were used to forecast Jeddah water demand. Holt and winters' method gave the best and most accurate model among all the other methods used in this part of the study. The forecasted data showed that water demand in Jeddah will jump to 44.6 million m³ in December 2022, from its current level of 38.7 million m³ in October 2018; and increase representing about 13.5% by the end of the forecasted period. The highest demand was expected to reach to 45.49 million m³ in July 2022.

Jeddah water consumption was forecasted by including the five significant factors that were identified. Multiple regression, ARIMA and Neural Network were used in this part of the study. Multiple regression was used to forecast Jeddah water demand with 3,4 and 5 factors. Based on accuracy measures of these models were compared, the best model among these used was model with 5 factors. The R² of these models were 76.88, 77.69 and 81.24 respectively

ARIMA forecasting technique was used to forecast Jeddah water demand. Eleven different models were developed by changing different model parameters. The best ARIMA model – based on accuracy measures- was ARIMA (0,1,12) and it was identified

based on a recommendation by SPSS software package used in forecasting. This mode gave the best accuracy measures among all the other eleven models.

Neural Network technique was also used to forecast Jeddah water demand. This technique was used with 3,4 and 5 factors, and with 1 and 2 hidden layers with 4,5 and 6 units in a one hidden layer model, and with 2 and 3 units in two hidden layer model. The best mode among all these developed models was with 3 factors, 1 hidden layer and 5 units.

The forecasting was in two stages: the first: time-series forecasting only without considering the factors. The second was using factors affecting consumption. In the first stage, trend analysis techniques (linear, exponential and quadratic) were used to obtain the best and most accurate model for water consumption in Jeddah. The Holt-Winters method provides the best and most accurate model among all the techniques used in the study. Using this technique, we concluded that while monthly water consumption in Jeddah reached 38.7 million m³ in October 2018, it is expected to increase by 10-15% to 44.6 million m³ by December 2022.

In the second stage, methods and techniques that take into account factors related to consumption have been taken into account: multiple regression, ARIMA and MLP-Neural Network.

In the multiple regression technique, the final results showed that 85.72% of the variation in Y can be explained by the regression model we obtained. In ARIMA, the model accuracy may increase by increasing the number of factors to the model. We

٥

concluded that the best model among all models tested (in terms of accuracy measures) is the ARIMA model (0,1,12) with 5 factors.

In Multi-Layer Perceptron Neural Network (MLP-NN) we concluded that adding more layers does not necessarily improve the model's accuracy results. On the other hand, some models do not need all five factors to give the most accurate model. This means adding more factors in MLP-NN may not give higher resolution. The relative error of the best model was in neural networks (0.177 in the training set, and 0.092 in the testing set).

Accuracy Measures (MAE, MAPE, MSE, RMSE) were calculated for all techniques used in the study. The results of all models in different techniques that were used were compared based on the smallest errors in the accuracy measures.

TABLE OF CONTENTS:

Examination Committee Approval

Dedication

Acknov	vledgement	iv
Abstrac	et	v
Table o	f Contents	vii
List of	Tables	X
List of 1	Figures	xii
List of	Symbols and Terminology	xiv
Chapte	r I: Introduction	1
1.1	Research Problem	1
1.2	The Importance of Research	2
1.3	Research Objectives	3
1.4	Research Methodology	3
1.5	Thesis structure	4
Chapte	r II: Literature Review	5
2.1	Studies Applied Neural Network Techniques	٥
2.2	Studies Applied Auto Regression Integrated Moving Average	15
2.3	Studies Applied Regression Techniques	18
2.4	Other Studies	19
Chapte	r III: Data Collection and Analysis	24
2 1	Introduction	24

3.2	Water C	onsumption Data in Jeddah
3.3	Factors A	Affecting Water Consumption
3.	3.1 Popul	ation of Jeddah City
3.	3.2 Atmos	spheric Factors
	3.3.2.1 Te	emperature
	3.3.2.2 Hu	umidity
3.	3.3 Econo	omic Factors
	3.3.3.1	Inflation Rate for Saudi Arabia
	3.3.3.2	Saudi Arabia GDP
	3.3.3.3	GDP Per Capita
3.4	Correla	ation between water consumption and different factors
3.5	Summa	ary
Chapte	er IV: Tin	ne-Series Forecasting
4.1	Introduc	tion
4.2	Forecast	ing
4	1.2.1 Accu	racy Measures
	4.2.1.1 M	lean Absolute Deviation (MAD)
	4.2.1.2 M	lean Square Error (MSE)
	4.2.1.3 Ro	oot Mean Squared Error (MSE)
	4.2.1.4 Me	ean Absolute Percentage Error (MAPE)
4	1.2.2 Trend	d Analysis
	4.2.2.1	Linear
	4.2.2.2	Exponential Growth
	4.2.2.3	Quadratic
4	1.2.3 Fittin	ng the model with Exponential Smoothing Function
	4.2.3.1	using Excel
	4.2.3.2	using Minitab
	4.2.3	.2.1 Single Exponential Method
	4.2.3	.2.2 Double Exponential Method
4	1.2.4 Fittin	ng the model with Winters' Method

4.2.5 Forecasting Using Winters' Method.	73
4.2.5.1 using Minitab software	73
4.2.5.2 using SPSS Software	74
4.3 summary	76
Chapter V: Forecasting Using Predictors	٧٨
5.1 Introduction	٧٨
5.2 Regression.	٧٩
5.2.1 Simple linear regression	٧٩
5.2.2 Multiple linear regression	٧٩
5.3 ARIMA	84
5.4 Multilayer Perceptron Neural Network	10•
5.4.1 Modelling with one hidden layer	101
5.4.2 Modelling with Two hidden layers	105
5.5 Summary	111
Chapter VI: Conclusion and Recommendation	115
6.1 Conclusion.	115
6.2 Recommendations	120
List of References.	122

LIST OF TABLES

Table		Page
Table 3.1	Water Quantity Consumed (in m³) in Jeddah City from January 2009 To	26
	October2018	
Table 3.2	Annual Growth for Water Quantity Consumed in Jeddah City from	27
	January 2009 to October 2018	
Table 3.3	Annual Growth of Liter per Capita Consumption in Makkah Region from	28
	January 2009 To October 2018.	
Table 3.4	Liter per Capita Consumption in Makkah Region from January 2009 To	29
	October2018	
Table 3.5	Descriptive Statistics for Water Quantity Consumed in Jeddah City from	30
	January 2009 To October2018	
Table 3.6	Monthly Population of Jeddah City from January 2009 To October 2018	33
Table 3.7	Descriptive Statistics For Jeddah City Population From January 2009 To	34
	October 2018	
Table 3.8	Annual Growth for Jeddah City Population (approx) From January 2009	34
	to October 2018	
Table 3.9	Liter per Capita from MEWA Data	35
Table 3.10	Calculated Liter per Capita for Jeddah City Vs. Liter per Capita from	35
	MEWA Data for Makkah Region	
Table 3.11	Descriptive Statistics for Temperature on Jeddah City from January 2009	36
	to October 2018	
Table 3.12	Highest and Lowest Monthly Temperature in Jeddah City from January	39
	2009 To October 2018	
Table 3.13	Descriptive Statistics for Humidity on Jeddah City from January 2009 to	40

	October 2018	
Table 3.14	Highest and Lowest Humidity in Jeddah City from January 2009 To	43
	October 2018	
Table 3.15	Monthly Inflation Rate for Saudi Arabia from January 2009 To October	44
	2018	
Table 3.16	Descriptive Statistics of Monthly Inflation Rate for Saudi Arabia from	45
	January 2009 To October 2018	
Table 3.17	Saudi Arabia GDP from 2009 to 2017 (quarterly in millions of SAR.)	47
Table 3.18	Descriptive Statistics of Saudi Arabia GDP from January 2009 To	48
	December 2017	
Table 3.19	Saudi Arabia GDP per Capita from 2009 to 2017 (yearly in USD.)	49
Table 3.20	Saudi Arabia GDP per Capita from 2009 to 2017 (monthly in USD.)	50
Table 3.21	Descriptive Statistics of GDP per Capita for Saudi Arabia from January	5.
	2009 To December 2017	
Table 3.22	Summary of Correlation	57
Table 4.1	Water Consumption Forecasting from November 2018 to December 2022	73
	using Minitab 17 software	
Table 4.2	Water Consumption Forecasting from November 2018 to December 2022	74
	using SPSS software	
Table 5.1	Multiple Regression Forecasted Values	٨٢
Table 5.2	ARIMA (0,1,0) Without Parameters Model Parameters	٨٦
Table 5.3	ARIMA (0,1,0) Model Statistics	86
Table 5.4	ARIMA (0,0,0) With 5 Predictors Model Statistics	87
Table 5.5	ARIMA (0, 0, 0) With 5 Predictors Model Parameters	88
Table 5.6	ARIMA (0,0,0) With 4 Predictors Model Statistics	89
Table 5.7	ARIMA (0, 0, 0) With 4 Predictors Accuracy Measures	89
Table 5.8	ARIMA (0,0,0) With 3 Predictors Model Statistics	90
Table 5.9	ARIMA (0, 0, 0) With 3 Predictors Accuracy Measures	90
Table 5.10	ARIMA (0,1,0) With 5 Predictors Model Statistics	91
Table 5.11	ARIMA (0,1,0) With 5 Predictors Model Parameters	91
Table 5.12	ARIMA (0,1,0) With 4 Predictors Model Statistics	92

Table 5.13	ARIMA (0,1,0) With 3 Predictors Model Statistics	93
Table 5.14	ARIMA (0,1,12) Model Statistics	94
Table 5.15	ARIMA (0,1,12) With 5 Predictors Model Statistics	95
Table 5.16	ARIMA (0,1,12) With 4 Predictors Model Statistics	96
Table 5.17	ARIMA (0,1,12) With 3 Predictors Model Statistics	97
Table 5.18	Summary of ARIMA Models Statistics	98
Table 5.19	Summary of ARIMA Models Accuracy Measures	99
Table 5.20	Best Neural Network Model Case Processing Summary	101
Table 5.21	Best Neural Network Model Summary	102
Table 5.22	Independent Variable Importance	103
Table 5.23	Network Information	104
Table 5.24	Parameter Estimates	104
Table 5.25	Best Case Processing Summary	105
Table 5.26	Best Model Summary	105
Table 5.27	Independent Variable Importance	105
Table 5.28	Network Information	107
Table 5.29	Parameter Estimates	107
Table 5.30	Best Models and Case Processing Summary	108
Table 5.31	Summary of Independent Variable Importance	110

LIST OF FIGURES

Figure		Page
Figure 3.1	Water Quantity Consumed (m³) in Jeddah City from January 2009 To	
	October 2018	30
Figure 3.2	Population of Jeddah City from January 2009 To October2018	32
Figure 3.3	Monthly Max., Avg. and Min. Temperature of Jeddah City from January	
	2009 to October 2018	36
Figure 3.4	Monthly Maximum Temperature of Jeddah City from January 2009 to	
	October 2018	37
Figure 3.5	Minimum temperature of Jeddah City from January 2009 to October	
	2018	37
Figure 3.6	Average Temperature of Jeddah City from January 2009 to October	
	2018	38
Figure 3.7	Monthly Max., Avg. and Min. Humidity of Jeddah City from January 2009	
	to October 2018.	39
Figure 3.8	Monthly Maximum Humidity of Jeddah City from January 2009 to October	
	2018	41
Figure 3.9	Monthly Minimum Humidity of Jeddah City from January 2009 to October	
	2018	42
Figure 3.10	Average Humidity of Jeddah City from January 2009 to October 2018	42
Figure 3.11	Saudi Arabia Inflation Rate from January 2009 to October 2018	45
Figure 3.12	Annual Saudi Arabia GDP (SAR.) (2009 – 2017)	47
Figure 3.13	Annual GDP Per Capita in Saudi Arabia (USD \$) (2009 – 2017)	49
Figure 4.1	Linear Trend Model for Water Consumption in Jeddah City from January	
	2009 to October 2018	65
Figure 4.2	Exponential Curve Model for Water Consumption in Jeddah City	
	from January 2009 to October 2018.	66
Figure 4.3	Quadratic Trend Model for Water Consumption in Jeddah City from	67

	January 2009 to October 2018.	
Figure 4.4	Exponential Smoothing for Water Consumption in Jeddah City from	
	January 2009 to October 2018	70
Figure 4.5	Single Exponential Smoothing for Water Consumption in Jeddah City from	
	January 2009 to October 2018	71
Figure 4.6	Double Exponential Smoothing for Water Consumption in Jeddah City	
	from January 2009 to October 2018	72
Figure 4.7	Winters' Method (Additive Method) for Water Consumption in Jeddah City	
	from January 2009 to October 2018	73
Figure 4.8	Winters' Method (Additive Method) Forecasting For Water Consumption in	
	Jeddah City from November 2018 to December 2022 using Minitab	76
Figure 4.9	Winters' Method (Additive Method) Forecasting For Water Consumption in	
	Jeddah City from November 2018 to December 2022 Using SPSS	76
Figure 5.1	Multiple Regression Summary Report For Water Consumption in Jeddah	
	City	80
Figure 5.2	Jeddah Water Consumption Data Vs. X Variables: Population, SA GDP, SA	
	Inflation, SA GDP Per Capita and Monthly Min. Temperature in Jeddah	
	City	80
Figure 5.3	Multiple Linear Regression Model Sequence	81
Figure 5.4	Incremental Impact of X Variables	82
Figure 5.5	Actual and Forecasted Water Consumption Data Using Multiple Regression	84
Figure 5.6	SPSS software output for ARIMA (0, 0, 0) without predictors	85
Figure 5.7	SPSS software output for ARIMA (0, 1, 0) without predictors	86
Figure 5.8	SPSS software output for ARIMA (0, 0, 0) with 5 predictors	87
Figure 5.9	SPSS software output for ARIMA (0, 0, 0) with 4 predictors	88
Figure 5.10	SPSS software output for ARIMA (0, 0, 0) with 3 predictors	89
Figure 5.11	SPSS software output for ARIMA (0, 1, 0) with 5 predictors	90
Figure 5.12	SPSS software output for ARIMA (0,1,0) with 4 predictors	92
Figure 5.13	SPSS software output for ARIMA (0,1,0) with 3 predictors	93
Figure 5.14	SPSS software output for ARIMA (0,1,12) without predictors	94
Figure 5.15	SPSS software output for ARIMA (0, 1, 12) with 5 predictors	95

Figure 5.16	SPSS software output for ARIMA (0,1,12) with 4 predictors	96
Figure 5.17	SPSS software output for ARIMA (0,1,12) with 3 predictors	97
Figure 5.18	Neural Networks with Four Inputs and One Hidden Layer with Three	
	Hidden Neurons.	100
Figure 5.19	The Best Fit Model of One Layer in Neural Network Hierarchy	102
Figure 5.20	Normalized Importance of Factors.	103
Figure 5.21	The Best Fit Model of Two Layers in Neural Network Hierarchy	106
Figure 5.22	Normalized Importance of Factors	106

LIST OF SYMBOLS AND TERMINOLOGY

ANN Artificial Neural Network

ARIMA Auto-Regressive Integrated Moving Average

GDP Gross Domestic Product

MAD Mean Absolute Deviation

MAE Mean Absolute Error

MAPE Mean Absolute Percentage Error

Max. Maximum

MEWA Ministry of Environment, Water and Agriculture

Min. Minimum

MLP Multilayer Perceptron

MLP-NN Multi-Layer Perceptron Neural Network

MLR Multiple Linear Regression

MSE Mean Square Error

NWC National Water Company

OECD Organization For Economic Co-Operation and Development

RMSE Root Mean Square Error

SA Saudi Arabia

SWCC Saline Water Conversion Corporation

Temp Temperature